



DESENVOLVIMENTO DE HETEROESTRUTURA MOF-on-MOF À BASE DE NÍQUEL E NIÓBIO PARA EVOLUÇÃO DE HIDROGÊNIO VERDE

Ana B. O. Lazarino (G) 1*, Tatianny A. Andrade (PG) Renata P. Lopes (PQ) Jemmyson R. de Jesus (PQ) Jemmyson R. de Jesus (PQ)

¹Departamento de Química, Universidade Federal de Viçosa, Viçosa, MG. *ana.lazarino@ufv.br

RESUMO

Este trabalho reporta o desenvolvimento de uma heteroestrutura do tipo *Metal-Organic Framework-on-Metal-Organic Framework* (MOF-on-MOF) à base de nióbio e níquel como suporte catalítico para geração de hidrogênio verde (H₂V) por hidrólise do borohidreto de sódio (NaBH₄). O material foi sintetizado pelo método solvotérmico e caracterizado usando DRX, FT-IR, TGA, BET, MEV-EDS e MET. Para otimizar a melhor condição do processo de geração de H₂V, um planejamento multifatorial foi aplicado. O melhor desempenho foi obtidad usando 10 mmol% de nanopartícula de platina ancorada no MOF-on-MOF, em 323,15 K e 0,050 mol L⁻¹ de NaOH. Sob essas condições, foi alcançanda uma taxa de geração de H₂V de 120,3 mL min⁻¹ g⁻¹. A energia de ativação do processo obtida foi de 32,03 kJ mol⁻¹ e o efeito isotópico cinético (0,9566) indicou ruptura da ligação B–H como etapa limitante.

Palavras-chave: Energia limpa, Hidrogênio verde, Estrutura organometálica, Catálise heterogênea

Introdução

A crescente demanda por fontes de energia sustentáveis tem incentivado o desenvolvimento de alternativas limpas, como o hidrogênio verde (H₂V), considerado um vetor energético promissor por sua alta densidade energética e emissão zero de carbono na queima (1). Dentre os métodos para sua obtenção, destaca-se a hidrólise catalítica do borohidreto de sódio (NaBH₄), capaz de gerar H₂ de forma controlada em meio aquoso e sob condições moderadas de operação (2,3). Nesse contexto, estruturas organometálica (MOFs) vêm sendo amplamente estudadas como suportes catalíticos devido à elevada área superficial, porosidade ajustável e capacidade de incorporar metais ativos (4,5). Em especial, heteroestruturas do tipo MOF-on-MOF, compostas por duas fases distintas, têm apresentado efeitos sinérgicos que aumentam a atividade catalítica e a estabilidade estrutural (6). O uso combinado de nióbio (Nb) e níquel (Ni) se mostra estratégico. O Nb, abundante no Brasil, confere resistência térmica e estabilidade química, enquanto o Ni possui boa atividade catalítica e custo reduzido (7,8). Assim, este trabalho investiga o potencial de heteroestruturas MOF-on-MOF baseadas em Nb e Ni como catalisadores para a geração eficiente de H₂V via hidrólise do NaBH₄.

Experimental

Os materiais [Ni(BDC)]_n e [Nb(BDC)]_n foram obtidos por síntese solvotérmica a 200 °C/24 h, e combinados para formar a heteroestrutura MOF-on-MOF (Ni-Nb). A funcionalização com nanopartículas metálicas (Pt, Ni, Co, Pd) foi realizada por impregnação e redução com NaBH₄. A caracterização dos materiais incluiu DRX, FTIR, TGA, BET, MEV/EDS, MET e DLS. A atividade catalítica foi avaliada via hidrólise do NaBH₄, em sistema de deslocamento de água, com posterior cálculo da taxa de geração

de hidrogênio (HGR). A otimização reacional foi feita por planejamento fatorial com delineamento composto central. A energia de ativação foi determinada por Arrhenius; a estabilidade e reuso do catalisador foram testados por múltiplos ciclos. O mecanismo reacional foi investigado via efeito isotópico cinético (KIE).

Resultados e Discussão

O DRX confirmou a formação dos MOFs e do MOF-on-MOF com novos picos indicativos de hibridização entre as fases. O FTIR (**Figura 1**) revelou bandas características dos grupos carboxilato e das ligações metal-oxigênio, sugerindo coordenação eficiente.

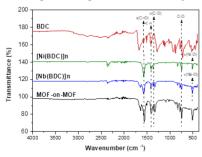


Figura 1. Espectros de FT-IR de BDC, [Ni(BDC)]n, [Nb(BDC)]n e MOF-on-MOF, destacando indicando a formação das estruturas metal-orgânicas.

As imagens do MEV mostraram morfologias distintas (nanoflor para [Ni(BDC)]n e nanobastões para [Nb(BDC)]n), e sobreposição uniforme no compósito. O EDS demonstrou a presença homogênea de [Ni(BDC)]n e [Nb(BDC)]n no MOF-on-MOF.

A análise por TGA indicou estabilidade térmica para a heteroestrutura.





A análise BET permitiu classificar os materiais como mesoou microporosos, sendo que o MOF-on-MOF apresentou uma área de 12,23 m²/g e raio médio de 8,77 nm.

Para a evolução de H_2V , foi observado que embora todos os materais ([Ni(BDC)]n e [Nb(BDC)]n no MOF-on-MOF) tenham apresentado baixa atividade catalítica, individualmente, quando combindos com as nanopartículas metálicas (Pt, Ni, Co, Pd), a eficiência catalítica melhorou substancialmente com destaque para o sistema Pt/MOF-on-MOF, que apresentou HGR de até 540 mL min $^{-1}$ g $^{-1}$ (Figura 2)

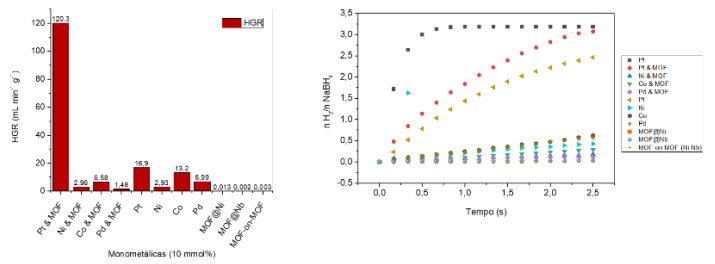


Figura 2. Gráfico (a) comparando o HGR dos materiais, com a cinética da reação de cada um (b).

A partir da otimização (**Figura 3**), foi observado que a condição ótima foi obtida a uma temperatura de 323,15 K, com concentração de 10 mmol% da nanopartícula de Pt e 0,050 mol $\rm L^{-1}$ de NaOH.

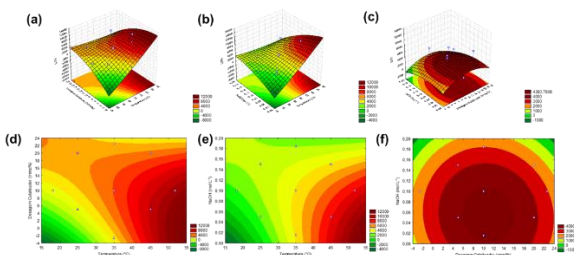


Figura 3. Gráficos de superfícies de resposta (a,b,c) e curvas de níveis (d,e,f) para a variável HGR em função da temperatura, dosagem de catalisador e concentração de NaOH, demonstrando as condições ideais para maximizar a geração de hidrogênio.

A energia de ativação foi estimada em 32,03 kJ mol⁻¹, compatível com reações eficientes a baixa temperatura. O catalisador se manteve durável por nove ciclos. O KIE (**Figura 4**) obtido (0,9566) indicou que a etapa limitante é a quebra da ligação B–H do borohidreto.

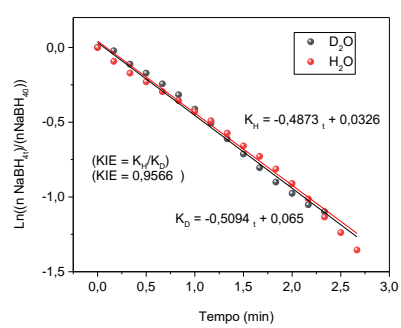


Figura 4. Resultados da evolução do hidrogênio no Efeito Isótopo Cinético (KIE).

O MET (**Figura 5**) confirmou boa dispersão das nanopartículas de Pt antes da reação, com leve aglomeração após os ciclos.

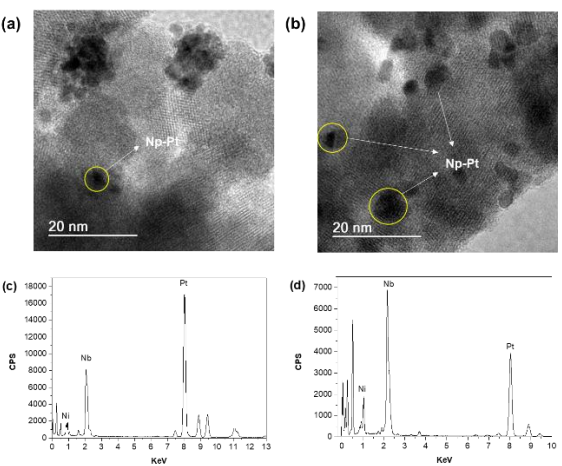


Figura 5. Micrografia de MET do sistema catalisador (a) antes da evolução de H₂ e (b) depois da evolução de H₂, evidenciando a distribuição das nanopartículas de platina no MOF-on-MOF. Espectro de EDS do sistema catalisador (c) antes da evolução de H e (d) após a evolução de H₂.

Conclusões

A heteroestrutura MOF-on-MOF, funcionalizada com nanopartículas de Pt, apresentou satsiaftório desempenho catalítico na evolução de H₂V a partir de NABH₄. Os resultados demonstram alta estabilidade térmica, reatividade, durabilidade e possibilidade de reutilização. A otimização das variáveis reacionais e o estudo do mecanismo evidenciam o potencial do sistema para aplicações sustentáveis na geração de hidrogênio verde.

Agradecimentos

FAPEMIG (APQ-01786-22; RED-00144-22, APQ-05429), CNPq (405828/2022-5), CAPES, Departamento de Química da UFV e Laboratório de Pesquisa em bionanomateriais, Fármacos, Alimentos e Ambientais (LPbioFAM).

Referências

- [1] Abdelhamid, H. N. Int. J. Hydrogen Energy, 2021.
- [2] Sperandio, G. H. et al. Int. J. Hydrogen Energy, 2024.
- [3] Schlesinger, H. I. et al. J. Am. Chem. Soc., 1953.
- [4] Zhu, B.; Zou, R.; Xu, Q. Adv. Energy Mater., 2018.
- [5] Yao, Q. et al. Coord. Chem. Rev., 2023.
- [6] Rowell, J. L. C.; Yaghi, O. M. Microporous Mesoporous Mater.,
- [7] Li, Y. et al. Chem. Eng. J., 2024.
- [8] Coelho, L. O. et al. Processes, 2024.
- [9] Gao, H. et al. Int. J. Hydrogen Energy, 2022.